

Janusz POSPOLITA

Instytut Elektrotechniki

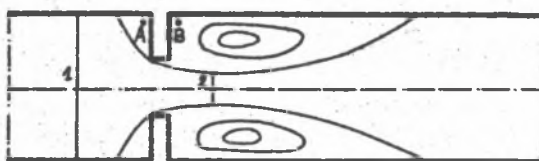
Wyższa Szkoła Inżynierska w Opolu

NUMERYCZNA OCENA ZAKRESU ZMIENNOŚCI LICZBY PRZEPŁYWU
W FUNKCJI CZASU DLA PULSUJĄCEGO PRZEPŁYWU PRZEZ ZWĘŻKĘ

Streszczenie: Przedstawiono model matematyczny pulsującego przepływu przez rurociąg ze zwężką. Na podstawie pól prędkości i ciśnień w otoczeniu zwężki wyznaczono liczbę przepływu w funkcji czasu. Przedstawiono przykłady obliczeń dla różnych amplitud pulsacji strumienia masy.

1. Wstęp

W praktyce technicznej niejednokrotnie zachodzi konieczność pomiaru wartości średniej pulsującego strumienia masy. Pulsacje te wywołane są przede wszystkim działaniem pomp i sprzężarek tłokowych. Traktowanie przepływu pulsującego jako quasi-ustalonego [7] i korzystanie ze wzorów i współczynników podanych w normie [9] jest źródłem dodatkowego błędu pomiaru. Błąd ten wynika z kwadratowej zależności między ciśnieniem różnicowym Δp i strumieniem masy M [6], [8], pominięcia członu niestacjonarnego w równaniu opisującym pulsujący przepływ przez rurociąg ze zwężką [1], [2] oraz przyjęcia stałości liczby przepływu i ekspansji. Wielkość błędu pomiaru wynikającego z dwóch pierwszych przyczyn można wyznaczyć na drodze teoretycznej [2], [3], [6], natomiast brak jest danych co do zakresu zmienności liczby przepływu L w funkcji czasu. Jedną z metod określenia funkcji $L(t)$ jest symulacja cyfrowa przepływu w badanym układzie przepływowym (rys.1). Następnie można wykorzystać otrzymane rozkłady prędkości i ciśnień w funkcji czasu do obliczania współczynników Coriolisa, współczynnika kontrakcji oraz innych wielkości określających wewnętrzną strukturę liczby przepływu [6].



Rys.1. Układ przepływowy ze zwężką.

2. Model matematyczny przepływu

Badany przepływ opisany jest równaniami Reynoldsa oraz dołączonymi do nich równaniami modelu turbulencji $k-\epsilon$ [4]. Równania modelu matematycznego można zapisać w ogólnej zachowawczej formie w cylindrycznym układzie współrzędnych

$$\frac{\partial \phi}{\partial t} + \frac{\partial}{\partial z}(V\phi) + \frac{1}{r}(rU\phi) = \frac{\partial}{\partial z}(\Gamma_{\phi} \frac{\partial \phi}{\partial z}) + \frac{1}{r} \frac{\partial}{\partial r}(r\Gamma_{\phi} \frac{\partial \phi}{\partial r}) + S_{\phi} \quad (1)$$

w powyższym równaniu zmienna ϕ oznacza kolejno składową promieniową U , osiową V wektora prędkości, kinetyczną energię turbulencji k i prędkość dyssypacji kinetycznej energii turbulencji ϵ . Współczynniki Γ_{ϕ} i S_{ϕ} zestawione są w tabeli 1.

ϕ	Γ_{ϕ}	S_{ϕ}
V	ν_{ef}	$\frac{\partial}{\partial r}(\nu_{ef} \frac{\partial V}{\partial z}) + \frac{1}{r} \frac{\partial}{\partial r}(r\nu_{ef} \frac{\partial U}{\partial z}) - \frac{1}{\rho} \frac{\partial p}{\partial z}$
U	ν_{ef}	$\frac{\partial}{\partial z}(\nu_{ef} \frac{\partial V}{\partial r}) + \frac{1}{r} \frac{\partial}{\partial r}(r\nu_{ef} \frac{\partial U}{\partial r}) - \frac{2\nu_{ef}U}{r^2} - \frac{1}{\rho} \frac{\partial p}{\partial r}$
k	$\frac{\nu_{ef}}{C_1}$	$G - \epsilon$
ϵ	$\frac{\nu_{ef}}{C_2}$	$\frac{\epsilon}{k}(C_1 G - C_2 \epsilon)$

Tabela 1. Współczynniki układu równań (1).

Wielkości ν_k , ν_{ϵ} , C_1 i C_2 są stałymi modelu turbulencji. Do powyższego układu równań dołączą się odpowiednie dla wszystkich zmiennych warunki graniczne [4]. Pulsację strumienia masy otrzymuje się zadając w przekroju wlotowym badanego układu przepływowego gradient ciśnienia w kierunku osiowym w postaci funkcji okresowej za składową stałą.

3. Zarys metody numerycznej

Układ równań (1) i warunki brzegowe dyskretyzuje się na nierównomiernej w obu kierunkach siatce różnicowej i rozwiązuje metodą różnic skończonych. W rozpatrywanym zagadnieniu zastosowano metodę całkowicie jawną. Przykładowo, schemat różnicowy równania zachowania pędu w kierunku promieniowym przyjmuje postać

$$U_{i,j}^{n+1} - U_{i,j}^n + \Delta t \left(-(K_r^U)^n - (K_z^U)^n + (D_z^U)^n + 2(D_r^U)^n + (Z_r^V)^n + (Z_r^P)^n + (Z^U)^n \right) \quad (2)$$

K, D i Z z odpowiednimi indeksami są skrótowymi oznaczeniami schematów różnicowych członów konwekcyjnych, dyfuzyjnych i źródłowych równania dla składowej U wektora prędkości. Zgodnie z oznaczeniem, wszystkie zmienne występujące po prawej stronie równania różnicowego określone są na n -tym poziomie czasu. Równania dla U, V, k i ϵ rozwiązywane są kolejno i w rezultacie otrzymuje się rozkłady wszystkich zmiennych na nowym poziomie

czasu $t + \Delta t$. Szczegóły dotyczące numerycznego rozwiązania układu równań (1) znaleźć można w pracach [3], [4].

4. Numeryczne wyznaczanie liczby przepływu

Jednowymiarowy model matematyczny oparty na całce Cauchy'ego - Lagrange'a jest najczęściej stosowaną metodą opisu niestacjonarnego przepływu płynu przez rurociąg ze zwężką [5], [6], [7]. Stosując całkę Cauchy'ego - Lagrange'a z uwzględnieniem strat energii dla przekrojów 1 i 2 strumienia głównego otrzymuje się równanie

$$\frac{P_1 - P_2}{\rho} = \frac{c_2 V_2^2}{2} - \frac{c_1 V_1^2}{2} + \xi \frac{V_1^2}{2} + \int_{z_1}^{z_2} \frac{\partial V}{\partial t} dz, \quad (3)$$

gdzie P_1, V_1 i P_2, V_2 są prędkościami i ciśnieniami odpowiednio w przekrojach 1 i 2, c_1 i c_2 współczynnikami Coriolisa, ξ jest współczynnikiem strat. Równanie (3) można przekształcić do postaci

$$P_1 - P_2 = \frac{\dot{M}^2}{2\rho c^2 A_0^2} + \int_{z_1}^{z_2} \frac{\partial V}{\partial t} dz, \quad (4)$$

gdzie

$$c = \frac{x}{\sqrt{c_2 + \xi - c_1 m^2 x^2}}, \quad (5)$$

jest liczbą przepływu zwężki, A_0 jej polem przekroju, x współczynnikiem kontrakcji. Wprowadzając współczynnik ψ zdefiniowany wzorem

$$\psi = \frac{P_1 - P_2}{P_A - P_B}, \quad (6)$$

uwzględniający fakt, że punkty odbioru ciśnienia nie muszą w ogólnym przypadku pokrywać się z przekrojami 1 i 2 (rys. 1) liczbę przepływu określa zależność

$$x = \frac{x \sqrt{\psi}}{\sqrt{c_2 + \xi - c_1 m^2 x^2}}. \quad (7)$$

W wypadku przepływu nieustalonego c_1, c_2, x, ξ i ψ są funkcjami czasu. W oparciu o wyznaczone pole prędkości i ciśnień, korzystając z definicji powyższych współczynników, można określić ich zmienność w czasie. Następnie, wykorzystując zależność (7), można wyznaczyć funkcję $c(t)$.

5. Przykłady obliczeń

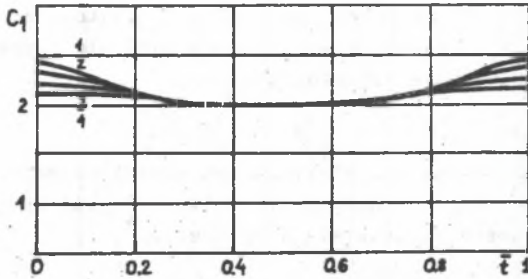
Obliczenia przeprowadzono dla wody przy $Re = 10000$ i częstotliwości 139,6 rad/s dla przedstawionej na rys. 1 kryzy o wymiarach $d/D = 0,5$ i $g/D = 0,05$, gdzie d jest średnicą zwężki, g jej grubością, D średnicą rurociągu. Zadając w przekroju wlotowym okresowo zmienny gradient ciśnienia otrzymano przepływ pulsujący w postaci

$$\dot{M}(t) = \bar{M} (1 + h \sin \omega t) \quad (8)$$

Poniżej przedstawiono wyniki obliczeń dla czterech różnych amplitud pulsacji strumienia masy $h_1 = 0,23, h_2 = 0,15, h_3 = 0,07, h_4 = 0,025$.

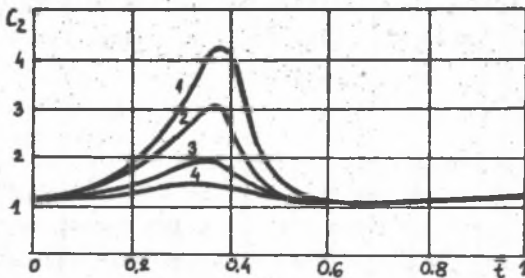
Na rys. 2 przedstawiono współczynnik Coriolisa w przekroju 1 dla czterech

podanych amplitud pulsacji strumienia masy w funkcji czasu odniesionego do okresu pulsacji ($\bar{t} = t/T$). Analizowany w każdym z przykładów cykl pulsacyjny został tak wybrany, że maksimum strumienia masy występuje dla $\bar{t} = 0,5$. Przekrój 1 został przyjęty w odległości $0,2 D$ przed zwężką. Występuje tu deformujący wpływ zwężki na profil prędkości, co m. in. uwidacznia się dużą wartością współczynnika Coriolisa w tym przekroju. Stwierdzić można także stosunkowo niewielki wpływ pulsacji strumienia na wartość C_1 przed zwężką.

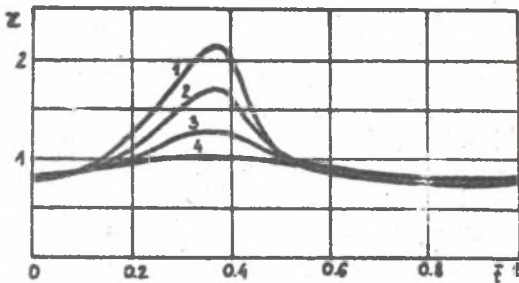


Rys. 2. Współczynnik Coriolisa w przekroju 1 w funkcji czasu dla amplitud pulsacji strumienia masy: 1-0,23, 2-0,15, 3-0,07, 4-0,025.

Pulsacja strumienia masy znacznie zmienia pole prędkości za zwężką, szczególnie jeśli chodzi o kształt i zasięg strefy recyrkulacji [3], [4]. Uwidacznia to również przedstawiona na rys. 3. duża zmienność współczynnika Coriolisa w przekroju 2 strumienia głównego, który odpowiada przekrojowi "vena contracta" dla przepływu ustalonego przy $Re = 10000$. Szczególnie dla pulsacji strumienia o amplitudzie 0,23, gdy przy dużych zmianach kształtu i zasięgu strefy recyrkulacji, przy $\bar{t} \approx 0,4$ następuje jej najcięższe i częściowe rozdzielenie. Odpowiada to znacznemu wzrostowi współczynnika Coriolisa w przekroju 2. Zmianom C_2 odpowiadają zmiany współczynnika kontrakcji χ (rys. 4) w przekroju 2. W zakresie $0,2 < \bar{t} < 0,5$, przy znacznym zmniejszeniu się strefy recyrkulacji, strumień główny rozszerza się bezpośrednio za zwężką i stąd wartości χ większe od jedności.

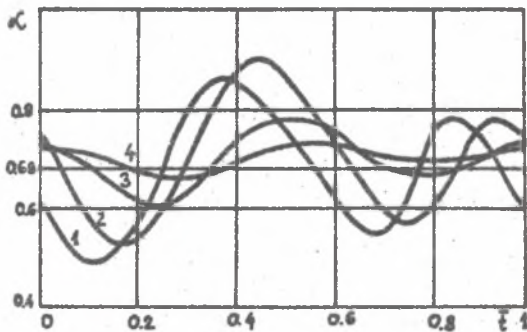


Rys. 3. Współczynnik Coriolisa w przekroju 2 strumienia głównego w funkcji czasu dla amplitud pulsacji strumienia jak na rys. 2.



Rys. 4. Współczynnik kontrakcji w funkcji czasu dla amplitud pulsacji jak na rys 2.

Po wyznaczeniu $\xi(t)$ i $\Psi(t)$, korzystając z zależności (7), określono liczbę przepływu w funkcji czasu (rys. 5).



Rys. 5. Wartość liczby przepływu określonej ze wzoru (7) w funkcji czasu dla amplitud pulsacji strumienia masy jak na rys. 2.

Zakres zmian K w funkcji czasu zależy od wielkości amplitudy h pulsacji strumienia. Dla amplitudy pulsacji $h = 0,024$ zmiany te są rzędu kilku procent i wzrastają wraz ze zwiększeniem h . Na rys. 5. linią ciągłą oznaczono wartość $K = 0,68$ zaczerpniętą z normy, odpowiadającą przepływowi ustalonemu przez badaną zwężkę w rozpatrywanym zakresie liczb Reynoldsa. Z rys. 5. wynika, że założenie stałości K w przypadku przepływu pulsującego może być również źródłem znacznego błędu pomiaru. W badanych przepływach, ze względu na dużą wartość częstości pulsacji (139,6 rad/s), składową pulsacyjną strumienia masy wymusza się zadając na wlocie duże wartości zmiennego periodycznie gradientu ciśnienia. Powoduje to duże zmiany pola ciśnień w otoczeniu zwężki i w konsekwencji również w istotny sposób wpływa na zmienność liczby przepływu. Dlatego też należałoby rozszerzyć badania na przepływy o znacznie mniejszych częstościach pulsacji oraz zbadać wpływ tego parametru na zakres zmienności K . Wiąże się to jednak ze zmianą metody numerycznego rozwiązania układu (1) na niejawną ze względu na ograniczenie dotyczące maksymalnej wartości kroku czasowego na siatce czaso-przestrzennej w wypadku metody całkowicie jawnej. Dobór odpowiedniej metody numerycznej w rozwiązywanym zagadnieniu jest zadaniem pierw-

szoplenowym ze względu na czasochłonność przeprowadzanych obliczeń.

Literatura

- [1] - Dobrowolski B., Kabza Z., Pospolita J.; Numeryczne badania wpływu pulsacji ciśnienia na błędy pomiaru strumienia masy. Archiwum Hydrotechniki, 3/81.
- [2] - Dobrowolski B., Kabza Z., Pospolita J.; Teoretyczna ocena wpływu pulsacji na błąd pomiaru średniej wartości strumienia masy. Archiwum Hydrotechniki, 2/83.
- [3] - Dobrowolski B., Kabza Z., Pospolita J.; Spyrka A.; Badania wpływu stanów nieustalonych płynu na właściwości metrologiczne przepływomierzy zwężkowych. Praca naukowo-badawcza wykonana na zlecenie Wydziału IV - Nauk Technicznych PAN.
- [4] - Dobrowolski B., Kabza Z., Pospolita J.; Model matematyczny pulsującego, turbulentnego przepływu przez rurociąg ze zwężką. Materiały XIII Sympozjum Modelowania w Mechanice, Wisła 1983.
- [5] - Fortier A.; La mesure des debits pulsatoires au moyen d'appareils deprimogenes. La Houille Blanche, 1969, No 5.
- [6] - Kremlevski P.P.; Raschodometriy i scotchiki kolicestva. Masinostroenie, Leningrad 1975.
- [7] - Mottram R.C., Zarek J.M.; The Behaviour of Orifice Plate and Venturi - Nozzle Meters under Pulsating Air Flow Condition. The Engineer Dec. 1967
- [8] - Negrusz A.; Pomiar natężenia przepływu pulsującego metodą zwężkową. Pomiar. Automatyka. Kontrola 6/1964.
- [9] - PN - 65/M - 53950; Pomiar natężenia przepływu za pomocą zwężek. Wydawnictwo Normalizacyjne, Warszawa 1965.

ЧИСЛЕННАЯ ОЦЕНКА ДИАПАЗОНА ПЕРЕМЕННОСТИ ЧИСЛА ТЕЧЕНИЯ В ФУНКЦИИ ВРЕМЕНИ ДЛЯ ПУЛЬСИРУЮЩЕГО ТЕЧЕНИЯ ЧЕРЕЗ СУЖАЮЩЕЕ УСТРОЙСТВО

Р е з ю м е

Представлено математическую модель пульсирующего течения через трубопровод с сужающим устройством. На основании полей скоростей и давлений в сфере сужающего устройства определено число течения в функции времени. Показано примеры расчетов для разных амплитуд пульсации потока масс.

NUMERICAL EVALUATION OF DISCHARGE COEFFICIENT RANGE VARIATION
AS A FUNCTION OF TIME FOR PULSATING FLUID FLOW THROUGH A PIPE ORIFICE

S u m m a r y

A mathematical model for pulsating fluid flow through a pipe orifice has been presented. Dependence of discharge coefficient as a function of time on the basis of the velocity and pressure field has been evaluated. An example of computations for various amplitude of mass flux pulsation has been given.